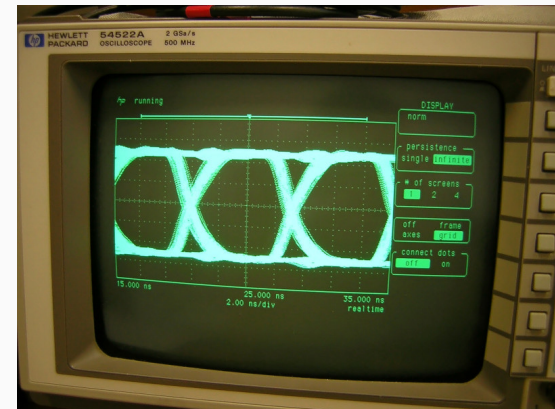


# Sistemas de Comunicação I

## Modulação de portadora



---

Prof. Roberto Wanderley da Nóbrega

Instituto Federal de Santa Catarina

# Introdução

---

# Motivação

# Diagrama de blocos

Modelo de translação em frequência geral:



Nomenclatura:

- $x(t)$  sinal modulante.
- $s(t)$  sinal modulado, sinal transmitido.
- $r(t)$  sinal recebido.
- $\hat{x}(t)$  sinal demodulado.

Sinais em banda base:

$x(t)$  e  $\hat{x}(t)$ .

Sinais em banda passante:

$s(t)$  e  $r(t)$ .

# Esquemas de modulação de portadora

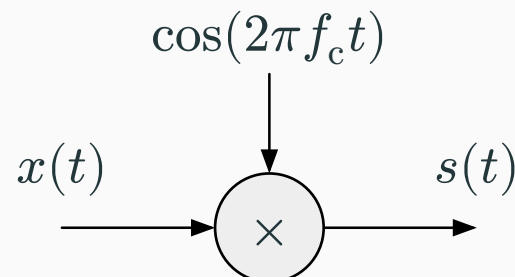
---

## Modulação de banda lateral dupla (DSB)

Seja  $x(t)$  um sinal em banda base. A modulação de **banda lateral dupla** (DSB) deste sinal é dada por

$$s(t) = x(t) \cos(2\pi f_c t),$$

onde  $f_c$  é a frequência da portadora.

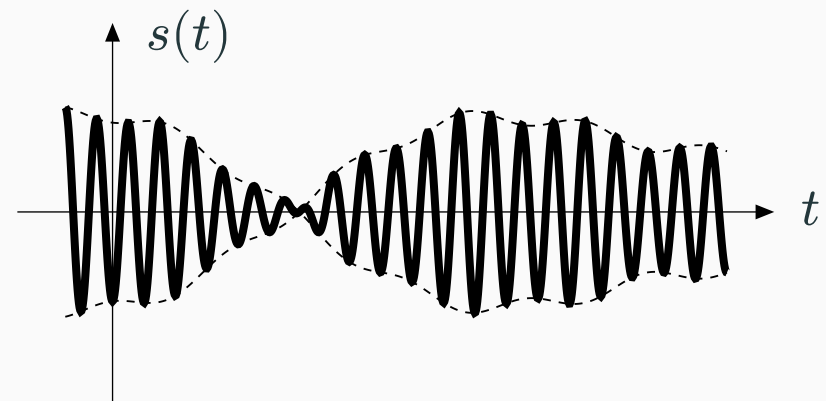
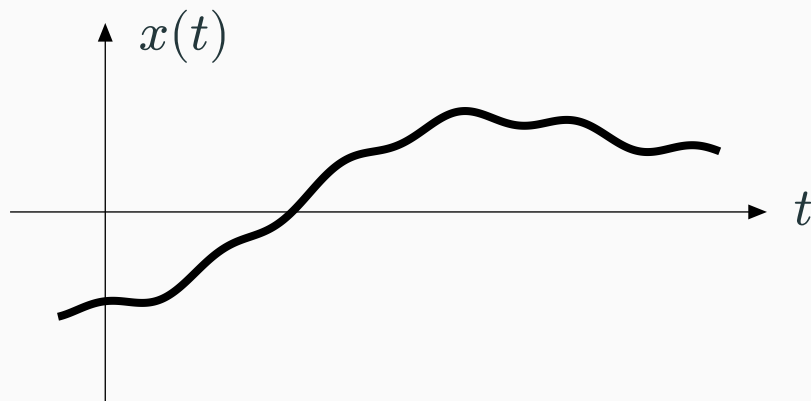


# Modulação de banda lateral dupla (DSB)

Seja  $x(t)$  um sinal em banda base. A modulação de **banda lateral dupla** (DSB) deste sinal é dada por

$$s(t) = x(t) \cos(2\pi f_c t),$$

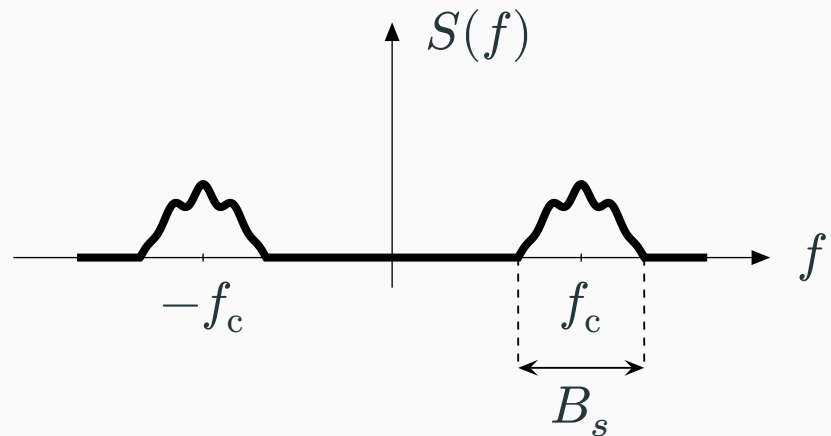
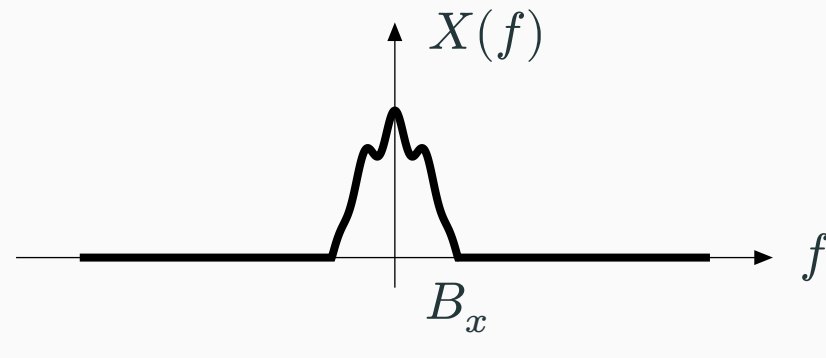
onde  $f_c$  é a frequência da portadora.



# Espectro do sinal modulado

No domínio da frequência:

$$S(f) = \frac{1}{2}X(f + f_c) + \frac{1}{2}X(f - f_c).$$

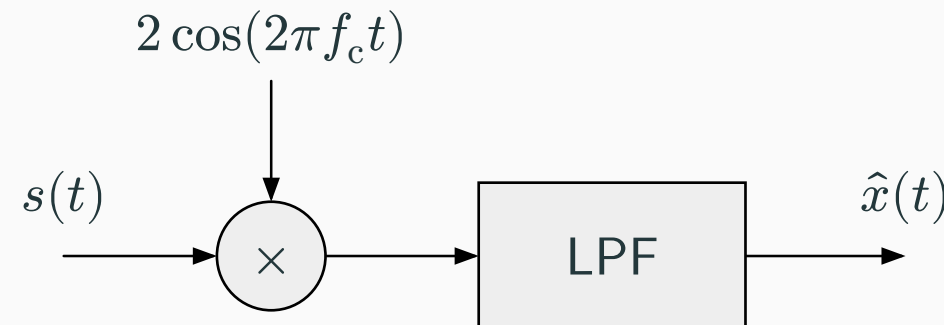


- Para que  $x(t)$  seja recuperado a partir de  $s(t)$ , é necessário  $f_c > B_x$  (na prática,  $f_c \gg B_x$ ).
- A banda ocupada pelo sinal em banda passante é o dobro daquela do sinal em banda base:

$$B_s = 2B_x.$$

# Demodulação do sinal DSB

A demodulação pode ser realizada como abaixo, onde LPF denota *filtragem passa-baixa*.



No domínio da frequência, a saída do multiplicador é

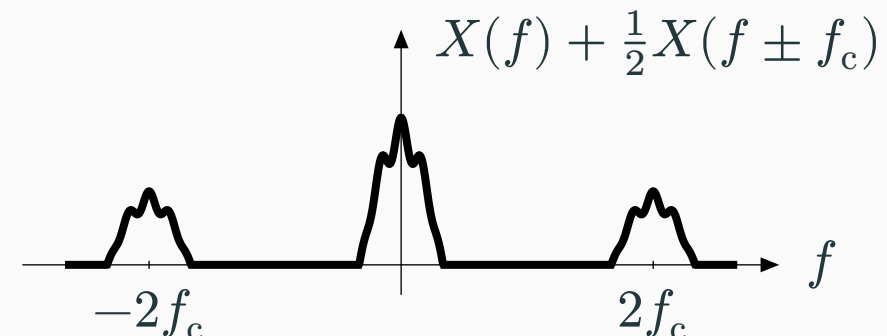
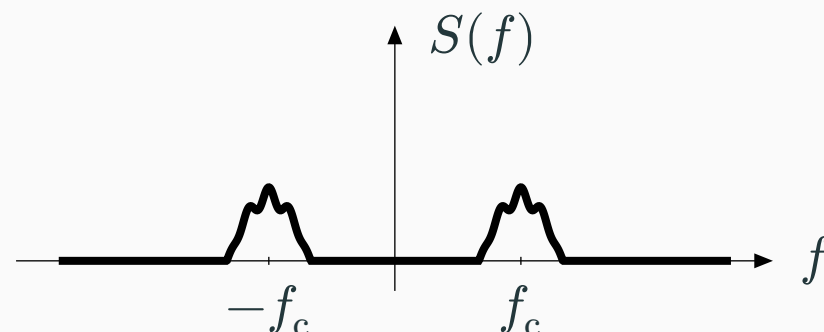
$$X(f) + \frac{1}{2}X(f + 2f_c) + \frac{1}{2}X(f - 2f_c).$$

# Demodulação do sinal DSB

No domínio da frequência, a saída do multiplicador é

$$X(f) + \frac{1}{2}X(f + 2f_c) + \frac{1}{2}X(f - 2f_c).$$

Os termos em  $\pm 2f_c$  são removidos pela filtragem passa-baixa.



A frequênciade corte do filtro deve se situar entre  $B_x$  e  $2f_c - B_x$ .

## Exercício

Mostre que:

(a) Se a diferença de fase entre os osciladores do receptor e transmissor é  $\theta$ , então

$$\hat{x}(t) = x(t) \cos(\theta).$$

(b) Se a diferença de frequência entre os osciladores do receptor e transmissor é  $\Delta f$ , então

$$\hat{x}(t) = x(t) \cos(2\pi\Delta f t).$$

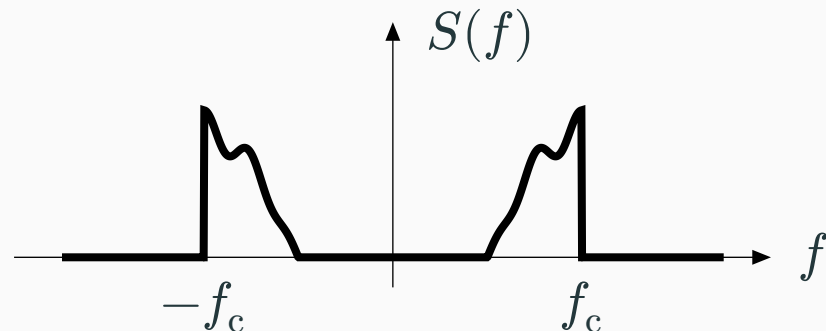
Observação: O problema de **sincronismo de portadora** pode ser resolvido de algumas maneiras:

- Portadora piloto: Transmite-se a portadora junto com  $s(t)$ .
- Malha de Costas (Costas loop): Utiliza técnicas de controle realimentado para recriar a portadora localmente a partir do próprio  $s(t)$ .

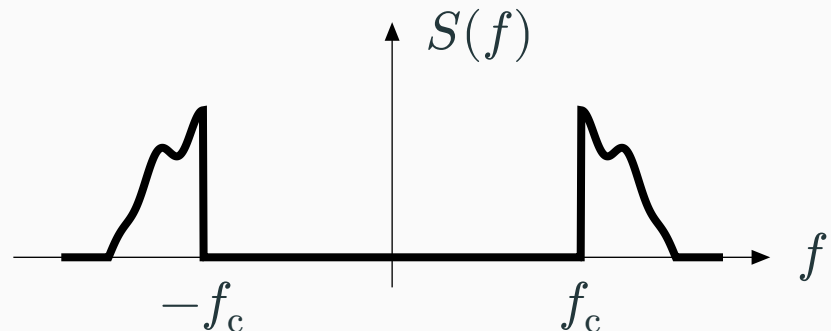
# Modulação de banda lateral simples (SSB)

Na modulação de **banda lateral simples** (SSB), apenas uma das bandas laterais é selecionada: ou a LSB (banda lateral inferior) ou a USB (banda lateral superior).

SSB-LSB



SSB-USB

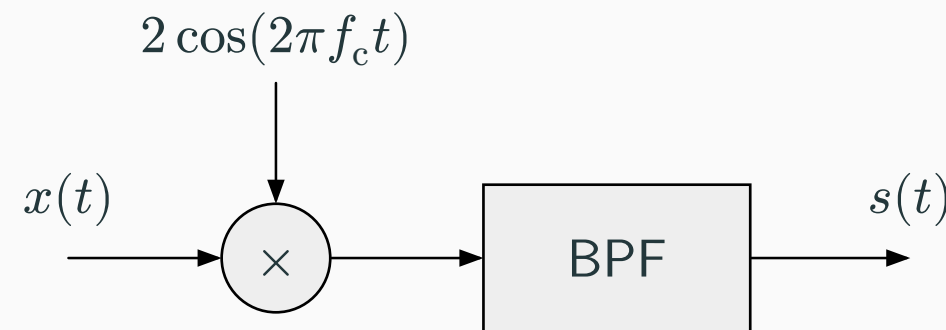


Assim, a banda ocupada pelo sinal em banda passante é a mesma do sinal em banda base:

$$B_s = B_x.$$

# Diagrama de blocos

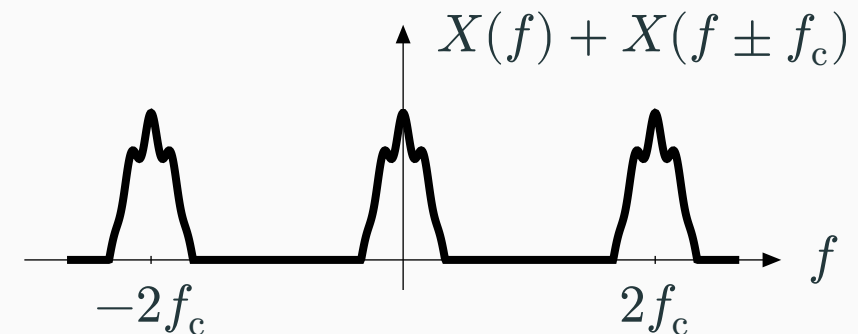
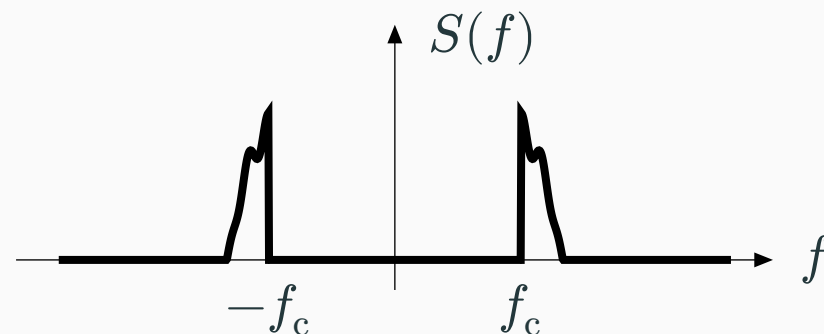
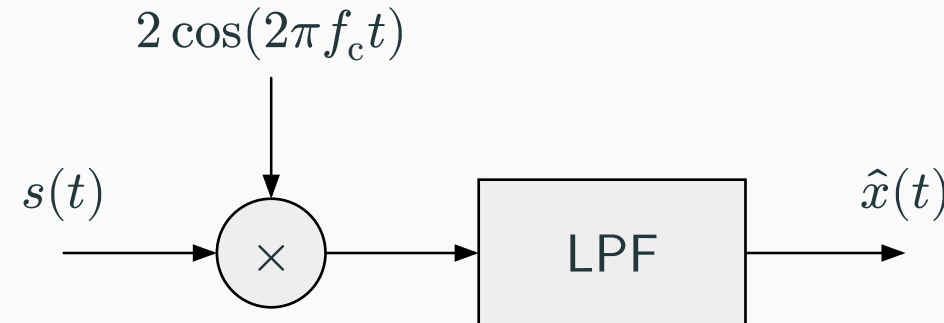
A modulação pode ser realizada através de um modulador DSB seguido de um filtro que seleciona a banda desejada.



*Observação:* Esta implementação exige um sinal modulante com baixo conteúdo espectral no DC.

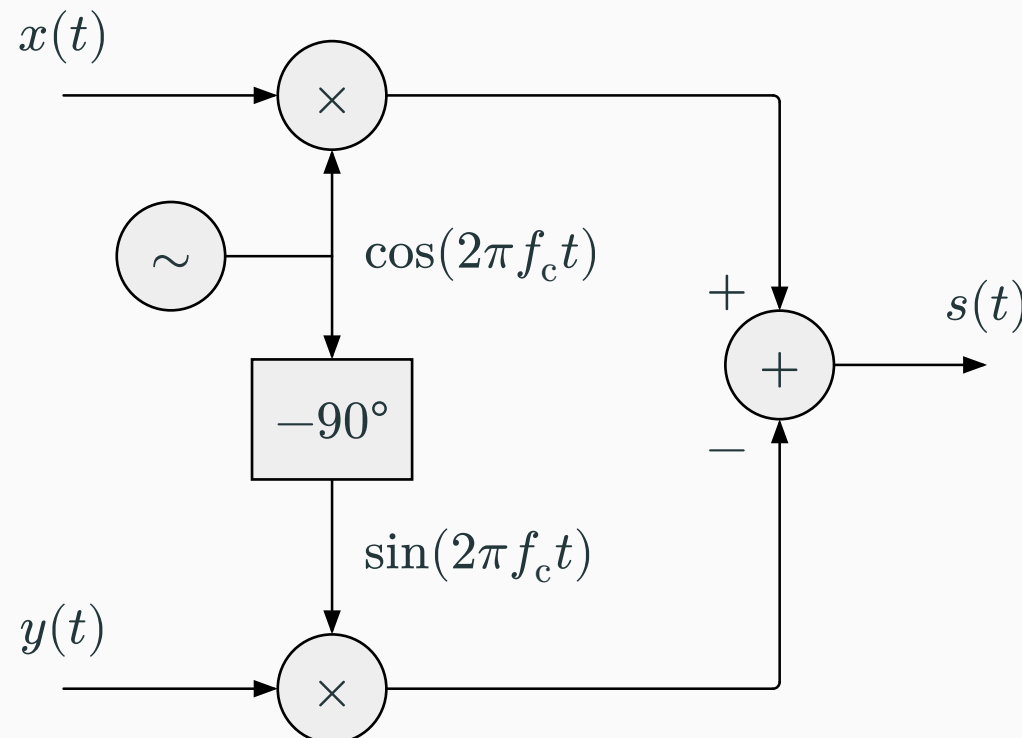
# Demodulação do sinal SSB

Pode-se utilizar um demodulador DSB!



# Modulação de portadora em quadratura (QC)

Na modulação de **portadora em quadratura** (QC), utiliza-se duas portadoras de mesma frequência, mas defasadas de 90°.



# Modulação de portadora em quadratura (QC)

Matematicamente,

$$s(t) = x(t) \cos(2\pi f_c t) - y(t) \sin(2\pi f_c t).$$

onde  $x(t)$  e  $y(t)$  são dois sinais em banda base.

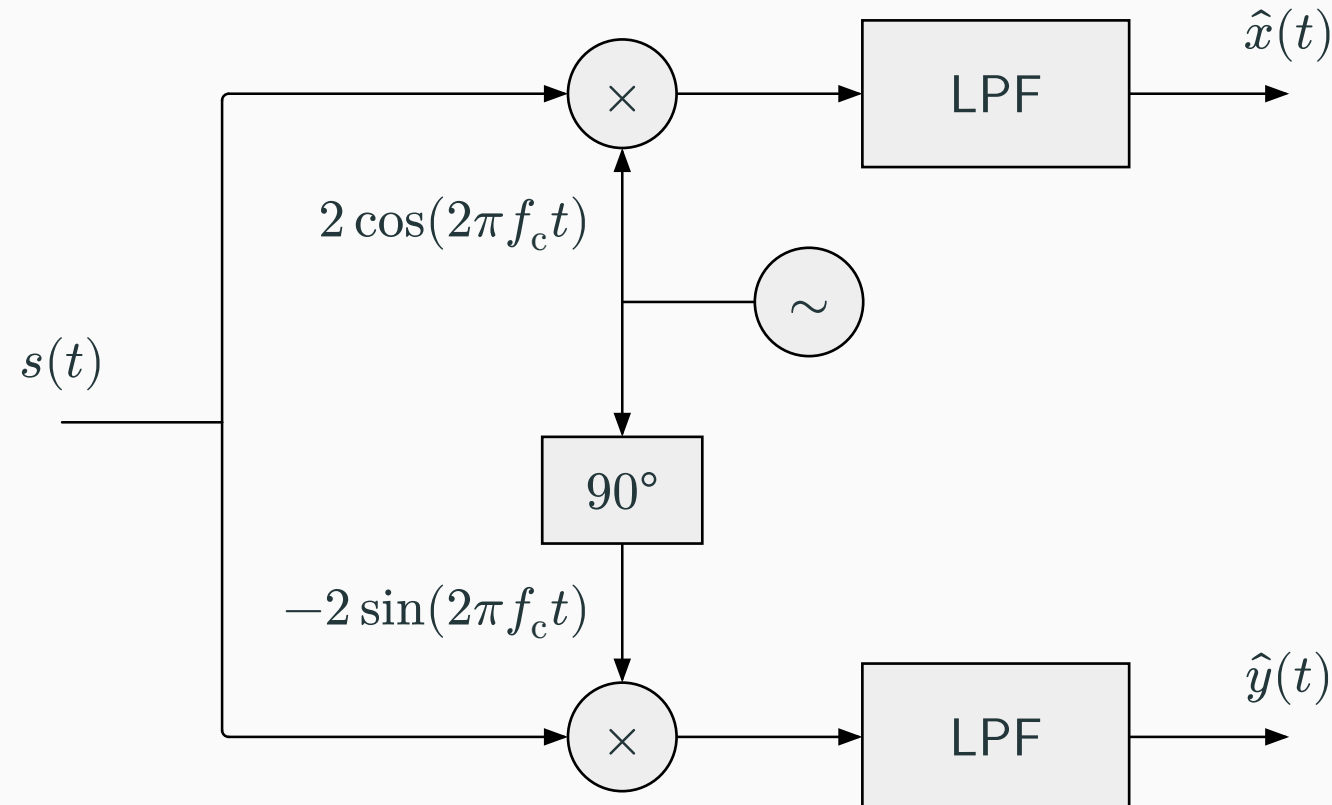
*Nomenclatura:*  $x(t)$  é o **componente em fase** e  $y(t)$  é o **componente em quadratura**.

A modulação QC ocupa a mesma largura de banda que o caso DSB. No entanto, dois sinais são transmitidos simultaneamente e na mesma faixa de frequência. Assim, a eficiência é a mesma do caso SSB.

*Observação:* Esta técnica é bastante usada em comunicação digital. Mais detalhes no futuro.

# Demodulação do sinal QC

Utiliza-se dois demoduladores DSB, com portadoras em quadratura.



A saída do multiplicador do ramo de cima é

$$\begin{aligned}2s(t) \cos(2\pi f_c t) &= 2[x(t) \cos(2\pi f_c t) - y(t) \sin(2\pi f_c t)] \cos(2\pi f_c t) \\&= 2x(t) \cos^2(2\pi f_c t) - 2y(t) \sin(2\pi f_c t) \cos(2\pi f_c t) \\&= x(t) + x(t) \cos(2\pi 2f_c t) - y(t) \sin(2\pi 2f_c t),\end{aligned}$$

onde foram utilizadas as seguintes igualdades trigonométricas:

$$2 \cos^2(a) = 1 + \cos(2a),$$

$$2 \cos(a) \sin(a) = \sin(2a).$$

Portanto, na saída do filtro passa-baixa correspondente, temos  $\hat{x}(t) = x(t)$ .

Analogamente, no ramo de baixo, temos  $\hat{y}(t) = y(t)$ .

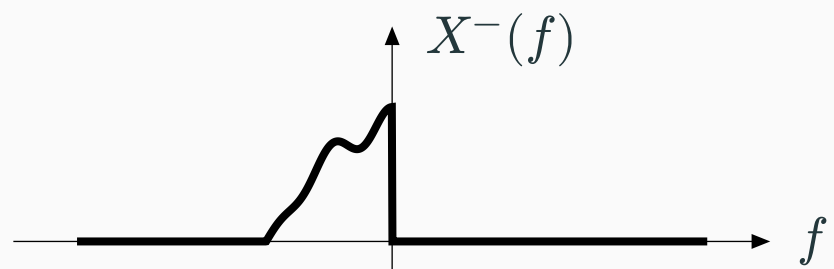
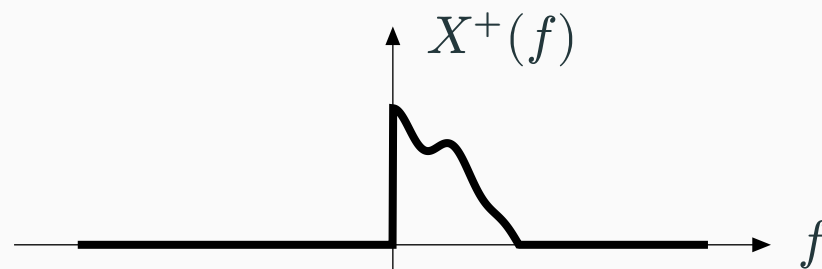
## Expressão do SSB no domínio do tempo

Neste momento estamos em condições de analisar a expressão no domínio do tempo de um sinal SSB. Sejam

$$X_+(f) = 2X(f) u(f) \quad \text{e} \quad X_-(f) = 2X(f) u(-f),$$

de modo que

$$X(f) = \frac{X_+(f) + X_-(f)}{2}.$$



*Observação:* Note que as formas de onda correspondentes no domínio do tempo são *complexas*!

## Expressão do SSB no domínio do tempo

Por brevidade, consideraremos apenas o caso USB. Nesse caso, temos

$$S(f) = \frac{X_+(f - f_c) + X_-(f + f_c)}{2},$$

de modo que

$$s(t) = \mathcal{F}^{-1}\{S(f)\} = \frac{1}{2}x_+(t)e^{+j2\pi f_c t} + \frac{1}{2}x_-(t)e^{-j2\pi f_c t},$$

onde

$$x_+(t) = \mathcal{F}^{-1}\{X_+(f)\} = x(t) \star \left( \delta(t) + j\frac{1}{\pi t} \right),$$

$$x_-(t) = \mathcal{F}^{-1}\{X_-(f)\} = x(t) \star \left( \delta(t) - j\frac{1}{\pi t} \right).$$

# Transformada de Hilbert

**Definição.** A **transformada de Hilbert** de um sinal  $x(t)$  é definida por

$$x_H(t) = \mathcal{H}\{x(t)\} = x(t) \star \frac{1}{\pi t} = \frac{1}{\pi} \int_{-\infty}^{\infty} \frac{x(\tau)}{t - \tau} d\tau.$$

Com esta definição:

$$x_+(t) = x(t) + jx_H(t),$$

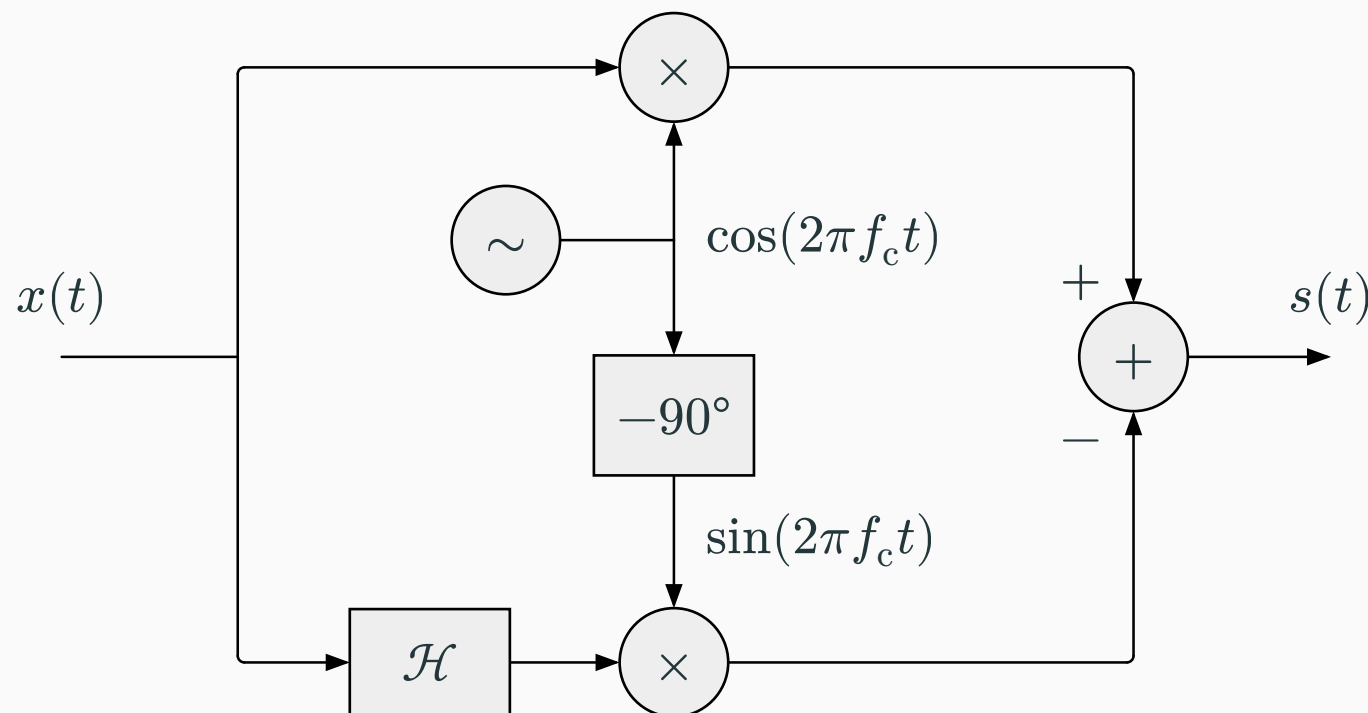
$$x_-(t) = x(t) - jx_H(t).$$

Finalmente,

$$s(t) = x(t) \cos(2\pi f_c t) - x_H(t) \sin(2\pi f_c t).$$

# Modulador SSB alternativo

Da discussão anterior, conclui-se que pode-se utilizar um modulador QC, com componente em fase  $x(t)$  e componente em quadratura  $x_H(t)$ .



# Exercício

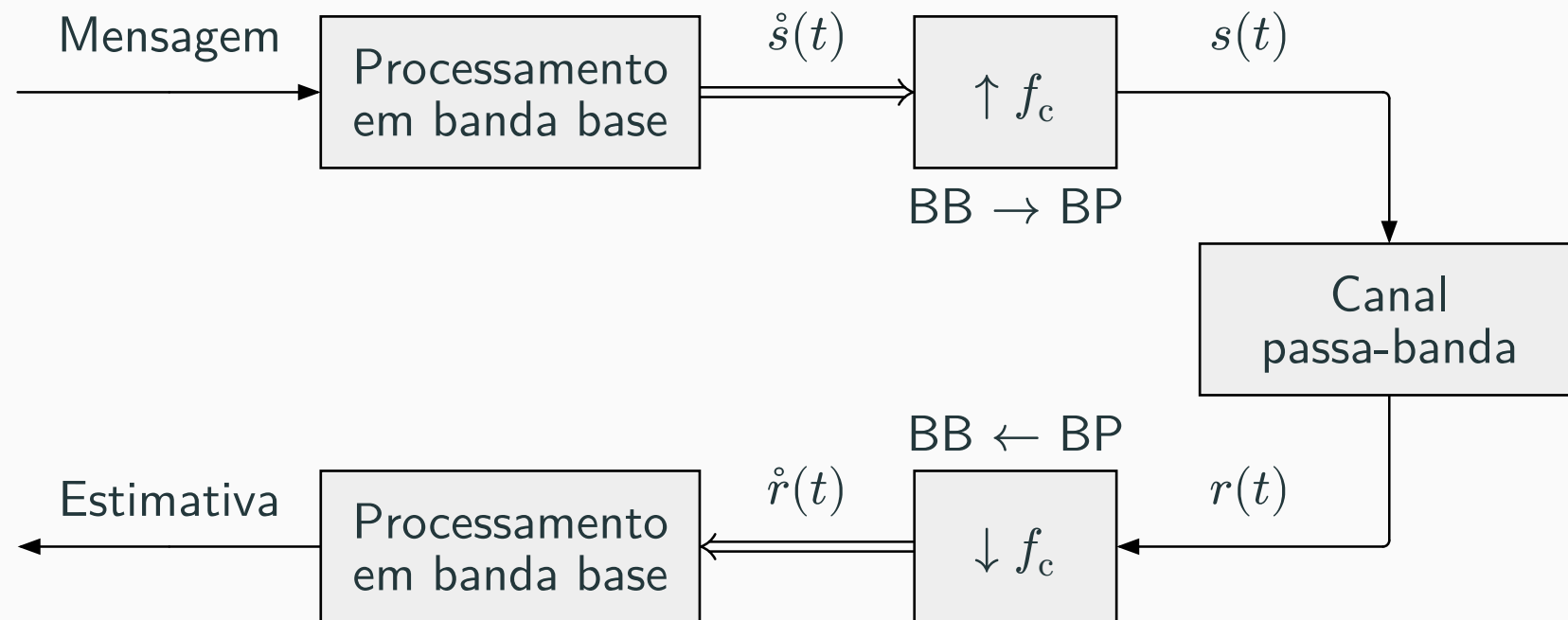
Analise o caso SSB-LSB.

# **Envoltória complexa**

---

# Motivação

A envoltória complexa é uma generalização do conceito de *fasores* e permite a análise, a simulação e a implementação em banda base de grande parte do sistema.



## Benefícios:

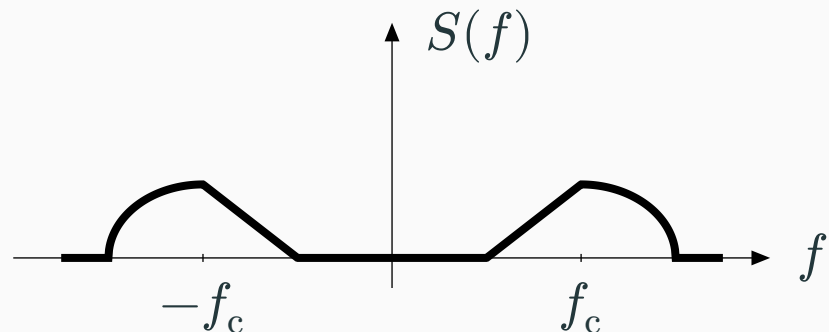
- Processamento em banda base independente da frequência da portadora.
- Processamento digital com menor taxa de amostragem.

## Preço a se pagar:

- Os sinais envolvidos passam a ser complexos.

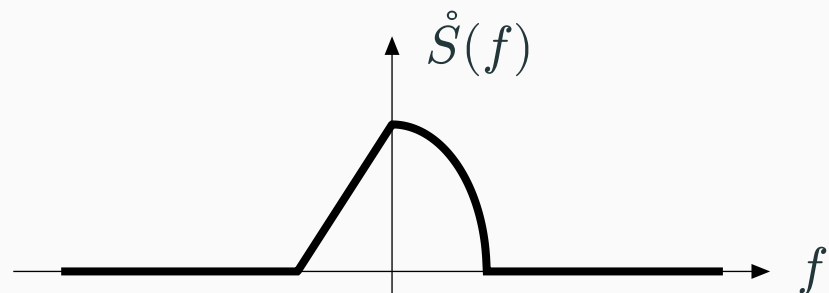
# Representação em banda base de sinais em banda passante

Seja  $s(t)$  um sinal real qualquer em *banda passante*.



$S(f)$  é sempre simétrico ao redor de  $f = 0$ , pois  $s(t)$  é real, mas *não* é necessariamente simétrico ao redor de  $f = f_c$ .

A representação em banda base de  $s(t)$  com relação à frequência  $f_c$ , chamada de **envoltória complexa** de  $s(t)$  e denotada por  $\mathring{s}(t)$ , é definida como sendo o sinal com o espectro abaixo.



Em geral,  $\mathring{s}(t)$  é um *sinal complexo*.

# Representação em banda base de sinais em banda passante

Matematicamente, primeiro definimos

$$S_+(f) = 2S(f) u(f)$$

e depois

$$\mathring{S}(f) = S_+(f + f_c).$$

*Observação:* O fator 2 na definição de  $S_+(f)$  é arbitrário (comodidade matemática).

## Lema

Seja  $s_+(t) = \mathcal{F}^{-1}\{S_+(f)\}$ . Então,

$$s_+(t) = s(t) + js_H(t),$$

onde  $s_H(t) = \mathcal{H}\{s(t)\}$  é a transformada de Hilbert de  $s(t)$ .

**Demonstração:** Tem-se

$$\begin{aligned} s_+(t) &= \mathcal{F}^{-1}\{2S(f) u(f)\} \\ &= \mathcal{F}^{-1}\{S(f)\} \star \mathcal{F}^{-1}\{2 u(f)\} \\ &= s(t) \star \left[ \delta(t) + j \frac{1}{\pi t} \right] \\ &= s(t) + js_H(t), \end{aligned}$$

de onde segue o resultado. ■

## Relação fasorial

Uma primeira consequência desse lema é que

$$s(t) = \operatorname{Re}\{\mathring{s}(t)e^{j2\pi f_c t}\},$$

exatamente como na teoria de fasores.

**Demonstração:** Temos que

$$\mathring{s}(t) = \mathcal{F}^{-1}\{\mathring{S}(f)\} = \mathcal{F}^{-1}\{S_+(f + f_c)\} = s_+(t)e^{-j2\pi f_c t},$$

ou seja,

$$s_+(t) = \mathring{s}(t)e^{j2\pi f_c t},$$

e o resultado segue tomando a parte real dos dois lados da equação. ■

## Representação retangular: componentes em fase e em quadratura

Expressando  $\mathring{s}(t)$  em coordenadas retangulares, obtemos

$$\mathring{s}(t) = s_I(t) + js_Q(t),$$

onde

- $s_I(t) = \text{Re}\{\mathring{s}(t)\}$  é o **componente em fase** de  $s(t)$
- $s_Q(t) = \text{Im}\{\mathring{s}(t)\}$  é o **componente em quadratura** de  $s(t)$ .

Pode-se mostrar então que

$$s(t) = s_I(t) \cos(2\pi f_c t) - s_Q(t) \sin(2\pi f_c t).$$

*Observação:* Os termos em inglês são *in-phase* (I) e *quadrature* (Q). Não confundir o I com “imaginário”.

## Representação polar: amplitude e fase instantâneas

Expressando  $\dot{s}(t)$  em coordenadas polares, obtemos

$$\dot{s}(t) = A(t)e^{j\theta(t)}.$$

onde

- $A(t) = |\dot{s}(t)|$  é a **amplitude instantânea** de  $s(t)$  e
- $\theta(t) = \angle \dot{s}(t)$  é a **fase instantânea** de  $s(t)$ .

Nesse caso, pode-se mostrar que

$$s(t) = A(t) \cos(2\pi f_c t + \theta(t)).$$

*Observação:* A amplitude instantânea  $A(t)$  também é chamada de *envoltória* de  $s(t)$ . Não confundir com a *envoltória complexa* de  $s(t)$ , que é  $\dot{s}(t)$ .

## Demonstração

Da relação fasorial, temos que primeiro que

$$\begin{aligned}s(t) &= \operatorname{Re}\left\{\dot{s}(t)e^{j2\pi f_c t}\right\} \\&= \operatorname{Re}\left\{\left[s_I(t) + js_Q(t)\right][\cos(2\pi f_c t) + j \sin(2\pi f_c t)]\right\} \\&= s_I(t) \cos(2\pi f_c t) - s_Q(t) \sin(2\pi f_c t),\end{aligned}$$

e depois que

$$\begin{aligned}s(t) &= \operatorname{Re}\left\{\dot{s}(t)e^{j2\pi f_c t}\right\} \\&= \operatorname{Re}\left\{A(t)e^{j\theta(t)}e^{j2\pi f_c t}\right\} \\&= \operatorname{Re}\left\{A(t)e^{j(2\pi f_c t + \theta(t))}\right\} \\&= A(t) \cos(2\pi f_c t + \theta(t)),\end{aligned}$$

como desejado.



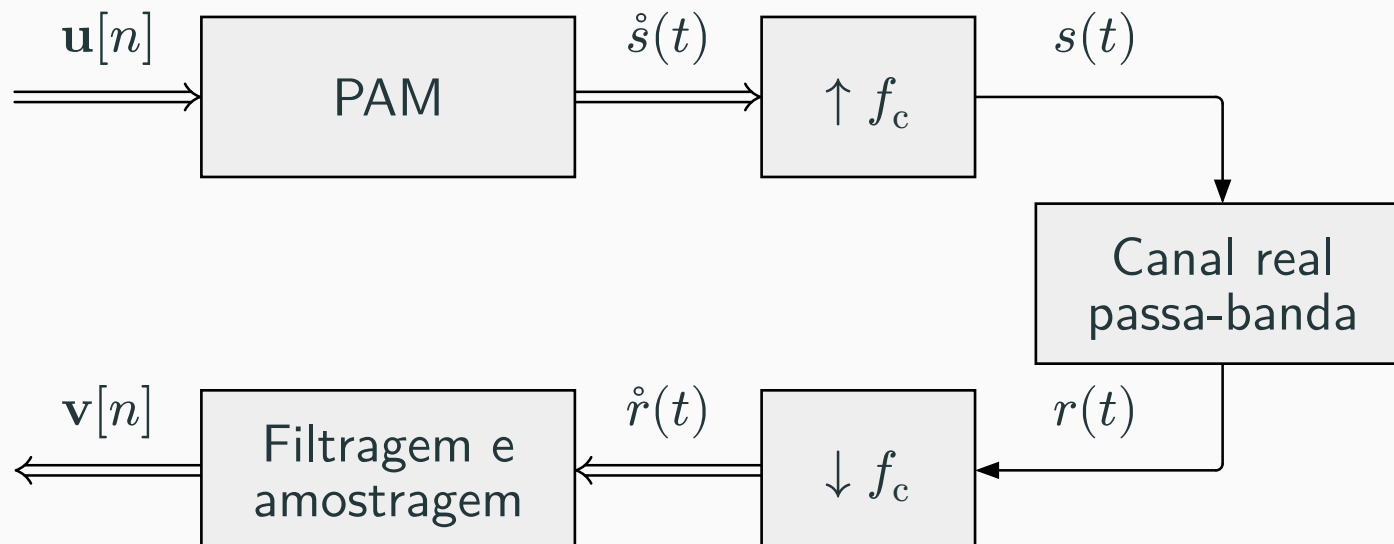
# PAM complexo

---

Suponha que o sinal equivalente em banda base seja da forma “PAM”, isto é,

$$\dot{s}(t) = \sum_{n \in \mathbb{Z}} \mathbf{u}[n] p(t - nT_s),$$

onde  $\mathbf{u}[n]$  é uma sequência de números complexos e  $p(t)$  um pulso real qualquer.



## Canal equivalente em banda base

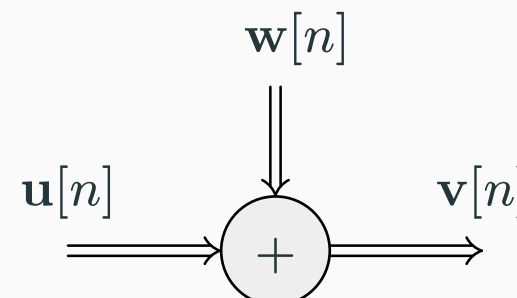
Analogamente ao caso real, no caso de filtragem casada e pulso de Nyquist, temos

$$\mathbf{v}[n] = \mathbf{u}[n] + \mathbf{w}[n],$$

onde  $\mathbf{w}[n] = \mathbf{w}_I[n] + j\mathbf{w}_Q[n]$  é *ruído gaussiano branco discreto complexo*, com

$$\mathbf{w}_I[n] \stackrel{\text{iid}}{\sim} \text{Normal}(0, N_0/2) \quad \text{e} \quad \mathbf{w}_Q[n] \stackrel{\text{iid}}{\sim} \text{Normal}(0, N_0/2),$$

sendo  $\mathbf{w}_I[n]$  e  $\mathbf{w}_Q[n]$  independentes entre si.



# Constelações complexas

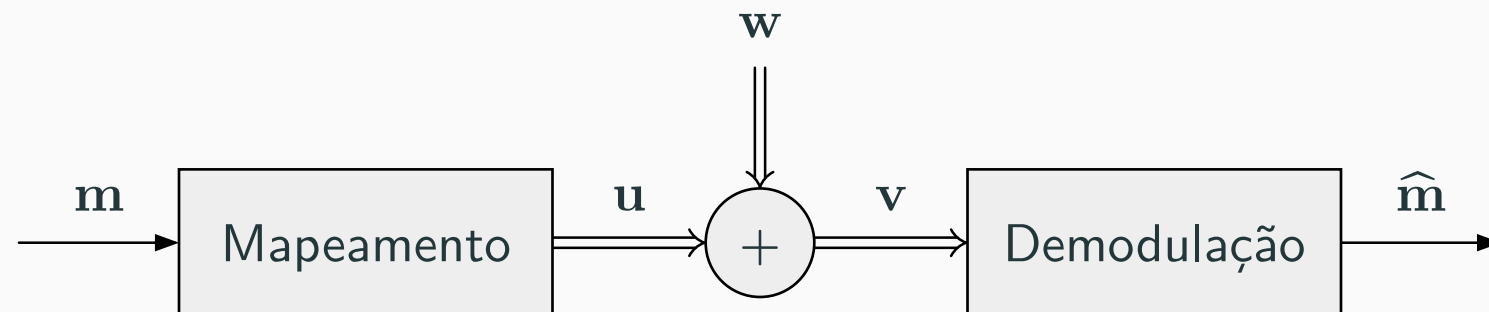
---

# Constelações complexas

Voltando nossa atenção para comunicação digital e relembrando as constelações  $M$ -PAM...

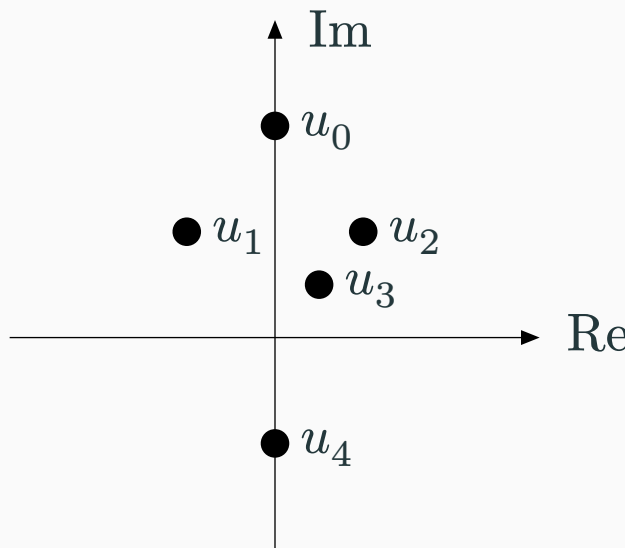


A ideia é, novamente, generalizar de real para complexo.



## Exercício

Considere a constelação  $\mathcal{U} = [j4, -2 + j2, 2 + j2, 1 + j1, -j2]$  mostrada abaixo.



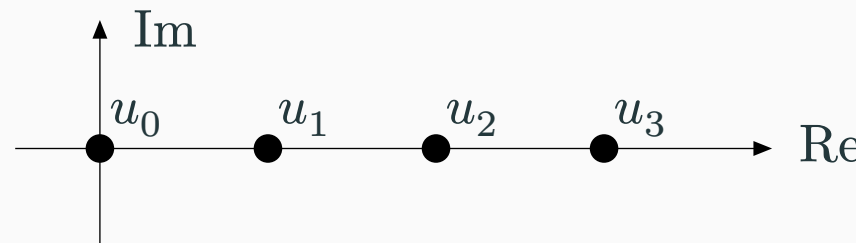
- Determine a média e a energia média da constelação, supondo mensagens equiprováveis.
- Supondo a sequência de mensagens  $\mathbf{m}[n] = [0, 1, 1, 4, 3\dots]$ , esboce as componentes em fase e em quadratura, bem como a amplitude e a fase instantâneas. Assuma taxa de símbolos de 50 kbaud.

# Constelação ASK

Na constelação **M-ASK** (amplitude-shift keying) os símbolos são definidos por

$$u_i = i\alpha, \quad i \in [0 : M),$$

onde  $\alpha$  é um valor de *amplitude base*. Por exemplo, para  $M = 4$ :



Observações:

- Uma alternativa seria considerar também símbolos negativos (apesar de que, nesse caso, a fase também carregaria informação).
- O caso particular  $M = 2$  é conhecido como **OOK** (on-off keying).

## Constelação ASK

Para a constelação  $M$ -ASK com símbolos equiprováveis, a *média* é dada por

$$\mu_s = \alpha \frac{M - 1}{2},$$

a *energia média* é dada por

$$E_s = \alpha^2 \frac{(M - 1)(2M - 1)}{6},$$

e a *distância mínima* é dada por

$$d_{\min} = \frac{\alpha}{2}.$$

## Exercícios

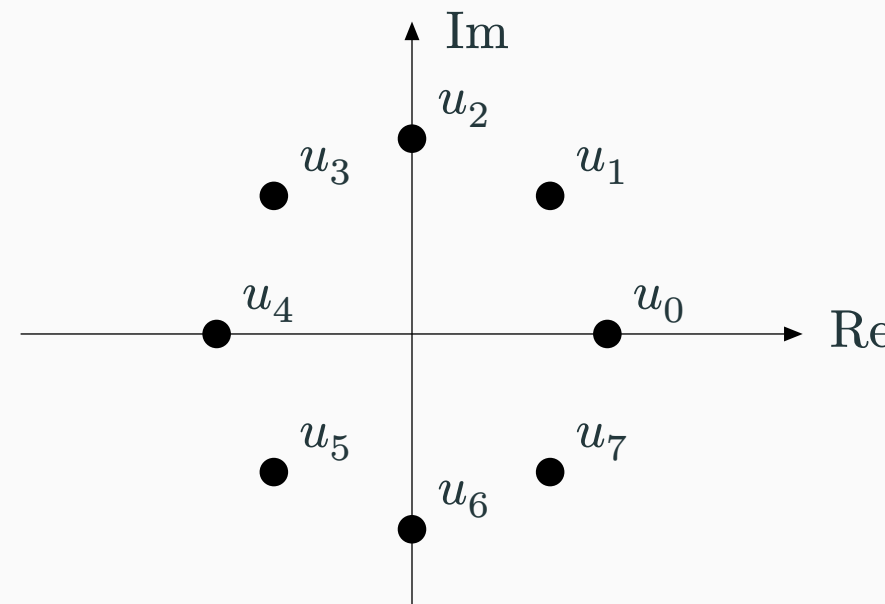
1. Verifique as fórmulas do slide anterior para o caso  $M = 4$ .
2. Considere um sistema de comunicação em banda passante que emprega 4-ASK com frequência da portadora de 200 kHz. O sistema transmite símbolos equiprováveis à taxa de símbolos de 50 kbaud e opera com potência média de transmissão de  $0.4375 \text{ V}^2$ . Esboce o sinal transmitido (em banda passante) referente à sequência de mensagens  $\mathbf{m}[n] = [2, 0, 1, 1]$ .

# Constelação PSK

Na constelação  **$M$ -PSK** (phase-shift keying) os símbolos são definidos por

$$u_i = \alpha e^{j2\pi i/M}, \quad i \in [0 : M),$$

onde  $\alpha$  é um valor de amplitude. Por exemplo, para  $M = 8$ :



# Constelação PSK

Para a constelação  $M$ -PSK com símbolos equiprováveis, a *média* é dada por

$$\mu_s = 0,$$

a *energia média* é dada por,

$$E_s = \alpha^2,$$

e a *distância mínima* é dada por

$$d_{\min} = 2\alpha \sin\left(\frac{\pi}{M}\right).$$

Casos particulares de grande importância:

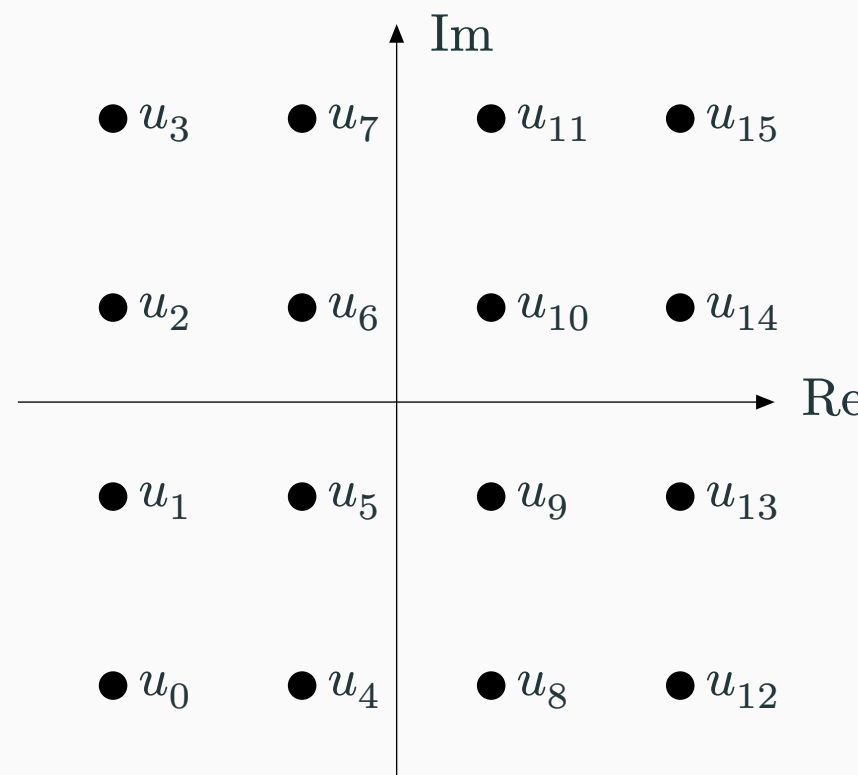
- 2-PSK ou **BPSK**:  $\mathcal{U} = \{\alpha, -\alpha\}$  (constelação puramente real).
- 4-PSK ou **QPSK**:  $\mathcal{U} = \{\alpha, j\alpha, -\alpha, -j\alpha\}$ .

## Exercícios

1. Demonstre a fórmula da distância mínima do slide anterior.
2. Considere um sistema de comunicação em banda passante que emprega QPSK com frequência da portadora de 200 kHz. O sistema transmite símbolos equiprováveis à taxa de símbolos de 50 kbaud e opera com potência média de transmissão de  $0.18 \text{ V}^2$ . Esboce o sinal transmitido (em banda passante) referente à sequência de mensagens  $\mathbf{m}[n] = [2, 0, 1, 1]$ .

## Constelação QAM uniforme

A **constelação QAM** (quadrature amplitude modulation) **retangular** é definida pelo produto de duas constelações PAM uniformes. Por exemplo, para  $M = 16$ :



Assim como no caso real, a demodulação pode ser:

- *Soft*, na qual a saída do demodulador é a pmf a posteriori de  $\mathbf{m}$ , dado  $\mathbf{v}$ ; ou
- *Hard*, na qual a saída do demodulador é a mensagem  $\hat{\mathbf{m}}$  mais provável, dado  $\mathbf{v}$ .

Para demodulação hard, e no caso particular de  $\mathbf{m}$  uniforme, temos novamente que o *demodulador de mínima distância euclidiana* é ótimo:

$$\hat{\mathbf{m}} = \operatorname{argmin}_m |\mathbf{v} - \mathbf{u}_m|.$$

# Regiões de Voronoi

## Probabilidade de erro de símbolo

- Para  $M$ -ASK:
- Para  $M$ -PSK:
- Para  $M$ -QAM:

## Aproximação de vizinhos

Uma aproximação popular para a probabilidade de erro de símbolo, válida para alta SNR, é dada por

$$P_s \approx VQ\left(\sqrt{\frac{d_{\min}^2}{2N_0}}\right),$$

onde  $d_{\min}$  é a *distância mínima* da constelação  $V$  é o *número médio de vizinhos* da constelação.

# Referências

---

## Referências

- [1] R. G. Gallager, *Principles of Digital Communication*. Cambridge University Press, 2008.
- [2] S. Haykin, *Communication Systems*, 4º ed. John Wiley & Sons, 2001.
- [3] B. P. Lathi e Z. Ding, *Modern Digital and Analog Communication Systems*, 4º ed. Oxford University Press, 2009.
- [4] J. G. Proakis e M. Salehi, *Digital Communications*, 5º ed. McGraw Hill, 2008.